ポンプ・プローブ法を用いた シリカ GI-MMF 中の誘導ブリルアン散乱の観測

Observation of stimulated Brillouin scattering in silica graded-index multimode optical fiber

東京工業大学 精密工学研究所 〇林 寧生 水野 洋輔

ONeisei Hayashi, Yosuke Mizuno, and Kentaro Nakamura P. & I. Lab., Tokyo Tech E-mail: hayashi@sonic.pi.titech.ac.jp

1. はじめに

近年、ビルや航空機等の構造物の安心・安全を実現する ためのセンシングの需要が高まる中、光ファイバ中のブリ ルアン散乱を用いた分布型歪・温度センサの開発が進んで いる。従来、センシングヘッドとして主にシリカ光ファイ バが用いられてきたが、数%の歪で破断してしまうという 欠点があった。そこで我々は、数 10%の歪にも耐えられる ポリマー光ファイバ(POF)に着目し、POF 中のブリルアン 散乱を用いた分布型歪・温度センサの実現を目指した研究 を進めている

この目的を達成するに当たっての一番の問題点は、POF 中のブリルアン散乱信号が小さいことである。ブリルアン信号の増強手法として、一般にポンプ・プローブ法(PPT)による誘導ブリルアン散乱(SBS)への遷移が知られている。 これまでに、1.55 μm 帯において全フッ素化屈折率傾斜型 (PFGI-)POF 中の SBS の観測に成功しているが、ロックイ ン検波を含む複雑な実験系が必要であった[2]。より簡素な系で SBS を観測できれば、POF を用いたブリルアン光時間領域解析法(BOTDA)の構築が可能となる。しかし、ロックイン検波を用いずに POF 中の SBS を観測することは困難 であり[3]、その原因が構造的問題(大きなコア径、マルチ モード性)と材料的問題(高い伝搬損失・小さいブリルアン利得係数)のどちらに起因するのかは不明であった。 そこで本発表では、PPTを用いた場合と用いない場合の

双方で、POF と同じ構造を有するシリカ屈折率傾斜型マル チモードファイバ(GI-MMF)中の SBS の観測を試み、MMF に対しても PPT は有効であることを示す。 これより、 中の SBS が観測困難である理由は材料的問題が主要因であ ることを明らかにする。

2. 原理

光ファイバにポンプ光を入射すると、後方ストークス散乱光が発生する。この現象を自然ブリルアン散乱と呼ぶ。 この散乱光の中心周波数はポンプ光のものと異なる。この 周波数差はブリルアン周波数シフト(BFS)と呼ばれ、そのスペクトル自体をブリルアン利得スペクトル(BGS)と呼ぶ [4]。ポンプ光のパワーの増加に伴い、ストークスパワーも 増加し、ポンプ光パワーをあるパワーよりも大きくすると その増加量が急激に大きくなる。これが SBS への遷移であり、その変化点をブリルアン閾値(P_{th})と呼ぶ [4]。なお、ブ リルアン散乱光と同じ中心周波数を有するプローブ光をファイバのもう一端から入射し SBS を低い Pth で励起する手 法を PPT と呼ぶ [5]。

3. 実験系

被測定ファイバは POF と同構造、つまりコア径 50 μm、 長さ 100 mのシリカ GI-MMF とした。PPT を使用しない実 験系では自己ヘテロダイン系[6]を用いた。一方、PPT を使 用する場合の実験系を図 1 に示す。プローブ光を増幅後、 シリカ GI-MMF に入射した。発生したブリルアン散乱信号 はカプラで分岐したも、光パワータータでその時、プローを測 定した。この時、プローブ光の中心周波数は電気スペクトルアナライザで観測しながら掃引した。

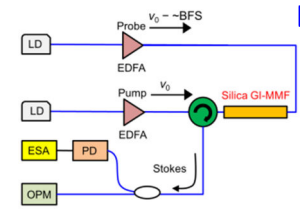
4. 実験結果

PPT を使用しない場合の BGS のポンプパワー依存性を 図 2(a)に示す。BFS は 10.43 GHz であり、シリカ単一モー ドファイバ(SMF)の典型値(10.8 GHz)よりも低い値であった。 ブリルアン線幅は 47 MHz であり、ブリルアン利得係数は 1.63×10^3 m/W あり、ともにシリカ SMF [4]と同程度であ った。 $P_{\rm th}$ は $5.08~\rm W$ と計算され、シリカ $\rm SMF$ と比較し非常

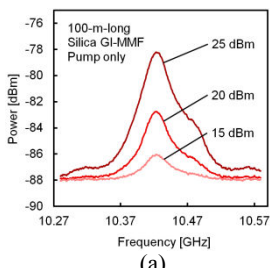
に大きい値であった。図 2(b)に示すように実際にストークスパワーのポンプパワー依存性を測定したが、予想通り SBS は観測できなかった

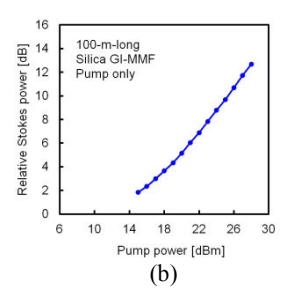
一方、PPTを用いた場合の BGS を図 3(a)に示す。プローブパワーは 15.3 dBm に固定した。ポンプパワーが 22.1 dBm のとき、明瞭な BGS が観測された。BFS は 10.4 GHz で PPT なしの場合とほぼ一致した。次に、ストークスパワーのポンプパワー依存性を測定した結果を図 3(b)に示す。 縦軸は ポンプパワーが 0 dBm の時のストークスパワーを 基準とした相対ストークスパワー、横軸はポンプパワーと した。ポンプパワーの増加に伴いストークスパワーは増加 これより、ブリルアン閾値は約 17 dBm (= ~50 mW)で あった。この値は PPT を用いない場合に推定された値 5.08 W の約 100 分の 1 の値であることから、PPT は MMF に対 しても有効であることが示された

以上の結果より、ロックイン検波を用いずに PPT による POF 中の SBS を観測することが困難な原因は、構造的問題 ではなく材料的問題にあることを明らかにした。

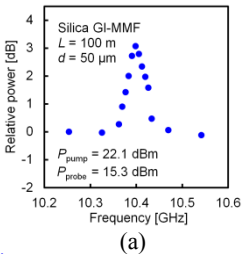


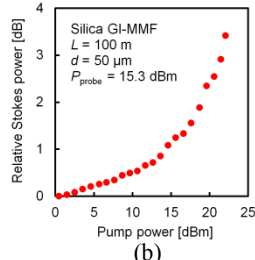
1. Experimental setup with pump-probe technique. EDFA, erbium-doped fiber amplifier; ESA. electrical spectrum analyzer; LD, laser diode; OPM, optical power meter; PD, photo detector.





2. (a) Measured BGS and (b) relative Stokes power dependence on pump power in silica GI-MMF without pump-probe technique.





3. (a) Measured BGS and (b) relative Stokes power dependence on pump power in silica GI-MMF with pump-probe technique.

参考文献

- K. Nakamura et al., Proc. SPIE 5855, 807 (2005).
- Y. Mizuno et al., Opt. Lett. 36, 2378 (2011).
- P. Lenke, and K. Krebber, personal communication.
 - G. P. Agrawal, Nonlinear Fiber Optics (AP, CA, 1995). N. Shibata et al., Opt. Lett. 13, 595 (1988).
- Y. Mizuno et al., Appl. Phys. Lett. 97, 02113 (2010).